

**1DE2116:A - Matematyka - Metody optymalizacji EP**  
**Projektowanie filtrów cyfrowych jako zadanie optymalizacji**

Maciej Twardy

Materiał przygotowany w ramach projektu „NERW 2 PW. Nauka – Edukacja – Rozwój - Współpraca”.  
 Projekt współfinansowany przez Unie Europejska w ramach Europejskiego Funduszu Społecznego. Program  
 Operacyjny Wiedza Edukacja Rozwój 2014-2020, Os priorytetowa III Szkolnictwo Wyższe dla gospodarki  
 i rozwoju, Działanie 3.5 Kompleksowe programy szkół wyższych.

## 1 Filtry cyfrowe

### 1.1 Filtry cyfrowe jako układy dynamiczne

[1, 2] Filtr cyfrowy jest układem dynamicznym typu SISO (ang. *single input, single output*). Wymuszeniem (sygnałem wejściowym) jest ciąg  $\{u(k)\}$ , gdzie  $k \in \mathbb{Z}$  jest dyskretnym czasem. Odpowiedzią (sygnałem wyjściowym) jest ciąg  $\{y(k)\}$ . W dalszym ciągu będziemy używać skrótowej notacji  $u_k \equiv u(k)$  oraz  $y_k \equiv y(k)$ . Filtarami typu FIR (ang. *finite impulse response*), czyli tzw. filtrami o skończonej odpowiedzi impulsowej (SOI), nazywamy filtry, dla których zachodzi

$$y_k = \sum_{i=0}^{n-1} h_i u_{k-i}, \quad k \in \mathbb{Z} \quad (1)$$

gdzie skończony ciąg  $\{h_0, \dots, h_{n-1}\}$  nazywamy odpowiedzią impulsową filtru. Jest to dopowiedź filtru na wymuszenie impulsowe

$$u_k = \begin{cases} 1 & \text{dla } k = 0 \\ 0 & \text{dla pozostałych} \end{cases} \quad (2)$$

tzn.

$$y_k = \begin{cases} h_k & \text{dla } 0 \leq k \leq n-1 \\ 0 & \text{dla pozostałych} \end{cases} \quad (3)$$

Przykładem filtru FIR jest tzw. filtr MA (ang. *moving average*) drugiego rzędu

$$y_k = \frac{1}{2}(u_k + u_{k-1}), \quad k \in \mathbb{Z} \quad (4)$$

o odpowiedzi impulsowej  $\{\frac{1}{2}, \frac{1}{2}\}$ .

Dyskretną transformatą Fouriera (DFT, ang. *discrete Fourier transform*) odpowiedzi impulsowej (czyli ciągu  $\{h_0, \dots, h_{n-1}\}$ ) nazywamy funkcję zespoloną  $\tilde{H} : \mathbb{R} \rightarrow \mathbb{C}$  zdefiniowaną wzorem

$$\tilde{H}(\omega) = \sum_{k=0}^{n-1} h_k e^{-i\omega k}, \quad \omega \in [-\pi, \pi]. \quad (5)$$

Funkcja  $\tilde{H}(\omega)$  charakteryzuje zachowanie filtru dla wymuszeń okresowych, w szczególności, jeśli  $u_k = e^{i\omega k}$ , to  $y_k = \tilde{H}(\omega)e^{i\omega k}$ . Ze wzoru (5) wynika, że jeśli  $h_0, \dots, h_{n-1} \in \mathbb{R}$ , to  $\tilde{H}(\omega)$  jest funkcją okresową, z okresem  $2\pi$ , ponadto  $\tilde{H}^*(\omega) = \tilde{H}(-\omega)$ . Z uwagi na te właściwości analizę funkcji  $\tilde{H}(\omega)$  można ograniczyć do przedziału  $[0, \pi]$ .

### 1.2 Filtry FIR z liniową fazą

Ważną klasę filtrów FIR stanowią tzw. filtry pierwszego rodzaju z liniową fazą (ang. *type I linear-phase filters*), dla których  $n = 2N + 1$  oraz

$$h_k = h_{n-1-k}, \quad k = 0, \dots, n-1. \quad (6)$$

Dla filtrów tych zachodzi

$$\tilde{H}(\omega) = e^{-i\omega N} H(\omega), \quad \omega \in [0, \pi] \quad (7)$$

gdzie  $H(\omega)$  jest funkcją o wartościach rzeczywistych

$$H(\omega) = h_N + 2 \sum_{k=0}^{N-1} h_k \cos((N-k)\omega) \quad (8)$$

którą nazywamy odpowiedzią amplitudową (ang. *amplitude response*) filtru.

Funkcja  $\tilde{H}(\omega)$  jest zespolona, zatem

$$\tilde{H}(\omega) = \|\tilde{H}(\omega)\|e^{i\varphi}. \quad (9)$$

Wprowadźmy oznaczenie

$$\text{sgn}(x) = \begin{cases} -1 & \text{dla } x < 0, \\ 0 & \text{dla } x = 0, \\ 1 & \text{dla } x > 0. \end{cases} \quad (10)$$

jest to tzw. funkcja signum. Ze wzorów (7) i (9) wynika, że faza rozpatrywanego filtru, dana wzorem

$$\varphi = -\text{sgn}(H(\omega))\omega N, \quad (11)$$

może nie być funkcją ciągłą oraz że

$$\|\tilde{H}(\omega)\| = \|H(\omega)\|. \quad (12)$$

Czasami wygodniej jest posługiwać się tzw. ciągłą fazą liniową (ang. *continuous linear phase*)

$$\theta(\omega) = -\omega N \quad (13)$$

oraz odpowiedzią amplitudową  $H(\omega)$ , niż fazą  $\varphi = -\text{sgn}(H(\omega))\omega N$  i modułem  $|\tilde{H}(\omega)|$ . W naszym przypadku, korzystając ze wzoru (8) można napisać

$$\boxed{H(\omega) = \mathbf{a}^T(\omega)\mathbf{h}} \quad (14)$$

gdzie

$$\mathbf{h} = \begin{bmatrix} h_0 \\ h_1 \\ \vdots \\ h_{N-1} \\ h_N \end{bmatrix}, \quad \mathbf{a}(\omega) = \begin{bmatrix} 2 \cos(\omega N) \\ 2 \cos(\omega(N-1)) \\ \vdots \\ 2 \cos(\omega) \\ 1 \end{bmatrix}. \quad (15)$$

### 1.3 Specyfikacja projektowa dolnoprzepustowego filtru FIR

Projektowanie filtru FIR z reguły polega na dobraniu odpowiedzi impulsowej

$$\{h_0, \dots, h_{n-1}\} \quad (16)$$

w taki sposób, aby otrzymać żądany kształt odpowiedzi amplitudowej  $H(\omega)$ . Przykładowo można zażądać, aby filtr przepuszczał sygnały o niskich częstotliwościach a blokował sygnały o wysokich częstotliwościach, mówimy wówczas o tzw. filtrze dolnoprzepustowym. Ograniczenia te możemy bardziej sprecyzować, w szczególności:

- Ograniczenia pasma przepustowego (ang. *pass-band constraints*)

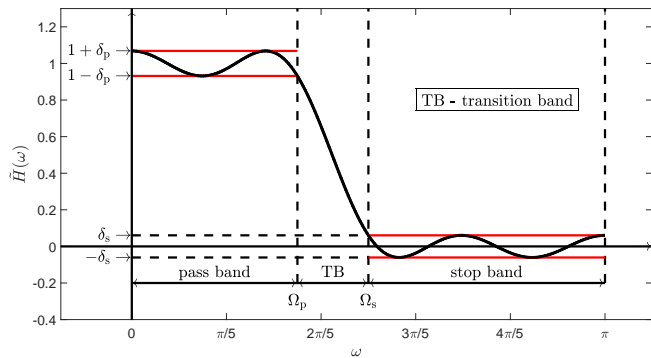
$$1 - \delta_p \leq H(\omega) \leq 1 + \delta_p, \quad \omega \in [0, \Omega_p] \quad (17)$$

gdzie  $\Omega_p$  jest tzw. częstotnością pasma przepustowego (krócej: częstotnością przepustową), zaś  $\delta_p > 0$  odpowiada maksymalnej dopuszczalnej wartości tętnień pasma przepustowego (ang. *pass-band ripple*) dla niskich częstotliwości (Rys. 1).

- Ograniczenia pasma zaporowego (ang. *stop-band constraints*)

$$-\delta_s \leq H(\omega) \leq \delta_s, \quad \omega \in [\Omega_s, \pi] \quad (18)$$

gdzie  $\Omega_s$  jest tzw. częstotnością pasma zaporowego (krócej: częstotnością zaporową), zaś  $\delta_s > 0$  odpowiada zadanemu poziomowi tłumienia (ang. *attenuation level*) dla wysokich częstotliwości (Rys. 1).



Rysunek 1: Oznaczenia używane przy projektowaniu filtra dolnoprzepustowego.

## 1.4 Dyskretyzacja częstotliwości

Wybieramy skończony zbiór częstotliwości

$$\{\omega_1, \omega_2, \dots, \omega_{N_p}\} \quad (19)$$

należących do obszaru niskich częstotliwości  $[0, \Omega_p]$  oraz przybliżamy ograniczenie związane z pasmem zaporowym skończoną

Oznaczając

$$\mathbf{A}_p = \begin{bmatrix} \mathbf{a}^T(\omega_1) \\ \mathbf{a}^T(\omega_2) \\ \vdots \\ \mathbf{a}^T(\omega_{N_p}) \end{bmatrix} = \begin{bmatrix} 2 \cos(\omega_1 N) & 2 \cos(\omega_1(N-1)) & \cdots & 2 \cos(\omega_1) & 1 \\ 2 \cos(\omega_2 N) & 2 \cos(\omega_2(N-1)) & \cdots & 2 \cos(\omega_2) & 1 \\ \vdots & \vdots & \cdots & \vdots & \vdots \\ 2 \cos(\omega_{N_p} N) & 2 \cos(\omega_{N_p}(N-1)) & \cdots & 2 \cos(\omega_{N_p}) & 1 \end{bmatrix}, \quad \mathbf{1} = \begin{bmatrix} 1 \\ 1 \\ \vdots \\ 1 \end{bmatrix}, \quad (26)$$

$$\mathbf{A}_s = \begin{bmatrix} \mathbf{a}^T(\omega_{N_p+1}) \\ \mathbf{a}^T(\omega_{N_p+2}) \\ \vdots \\ \mathbf{a}^T(\omega_{N_p+N_s}) \end{bmatrix} = \begin{bmatrix} 2 \cos(\omega_{N_p+1} N) & 2 \cos(\omega_{N_p+1}(N-1)) & \cdots & 2 \cos(\omega_{N_p+1}) & 1 \\ 2 \cos(\omega_{N_p+2} N) & 2 \cos(\omega_{N_p+2}(N-1)) & \cdots & 2 \cos(\omega_{N_p+2}) & 1 \\ \vdots & \vdots & \cdots & \vdots & \vdots \\ 2 \cos(\omega_{N_p+N_s} N) & 2 \cos(\omega_{N_p+N_s}(N-1)) & \cdots & 2 \cos(\omega_{N_p+N_s}) & 1 \end{bmatrix}, \quad (27)$$

można napisać zadanie (25) w bardziej zwartej formie

$$\begin{aligned} & \underset{\mathbf{h}, \delta_p}{\text{minimize}} && \delta_p && (28) \\ & \text{subject to} && (1 - \delta_p)\mathbf{1} \leq \mathbf{A}_p \mathbf{h} \leq (1 + \delta_p)\mathbf{1} \\ & && -\delta_s \mathbf{1} \leq \mathbf{A}_s \mathbf{h} \leq \delta_s \mathbf{1} \end{aligned}$$

Można również zminimalizować poziom tłumienia  $\delta_s$  przy ograniczeniu nałożonym na tętnienia w paśmie przepustowym  $\delta_p$

liczbą nierówności liniowych względem  $\mathbf{h}$

$$1 - \delta_p \leq H(\omega_i) \leq 1 + \delta_p, \quad i = 1, \dots, N_p. \quad (20)$$

czyli zgodnie ze wzorami (14) i (15)

$$1 - \delta_p \leq \mathbf{a}^T(\omega_i) \mathbf{h} \leq 1 + \delta_p, \quad i = 1, \dots, N_p. \quad (21)$$

W podobny sposób wybieramy zbiór częstotliwości

$$\{\omega_{N_p+1}, \omega_{N_p+2}, \dots, \omega_{N_p+N_s}\} \quad (22)$$

z obszaru  $[\Omega_s, \pi]$  wysokich częstotliwości oraz przybliżamy ograniczenie związane z pasmem przepustowym skończoną liczbą nierówności liniowych względem  $\mathbf{h}$

$$-\delta_s \leq H(\omega_i) \leq \delta_s, \quad i = N_p + 1, \dots, N_p + N_s. \quad (23)$$

czyli zgodnie ze wzorami (14) i (15)

$$-\delta_s \leq \mathbf{a}^T(\omega_i) \mathbf{h} \leq \delta_s, \quad i = N_p + 1, \dots, N_p + N_s. \quad (24)$$

## 1.5 Projektowanie filtrów FIR metodą minimalizacji tętnień

Biorąc pod uwagę dotychczasowe rozważania możemy sformułować zadanie projektowania filtra FIR jako zadanie optymalizacji LP (ang. *linear programming*). Przykładowo, można ustalić wartość  $\delta_s > 0$  i znaleźć  $\mathbf{h} \in \mathbb{R}^{N+1}$  i  $\delta_p \in \mathbb{R}$  tak, aby zminimalizować tętnienia w paśmie przepustowym

$$\begin{aligned} & \underset{\mathbf{h}, \delta_p}{\text{minimize}} && \delta_p && (25) \\ & \text{subject to} && 1 - \delta_p \leq \mathbf{a}^T(\omega_1) \mathbf{h} \leq 1 + \delta_p \\ & && 1 - \delta_p \leq \mathbf{a}^T(\omega_2) \mathbf{h} \leq 1 + \delta_p \\ & && \vdots \\ & && 1 - \delta_p \leq \mathbf{a}^T(\omega_{N_p}) \mathbf{h} \leq 1 + \delta_p \\ & && -\delta_s \leq \mathbf{a}^T(\omega_{N_p+1}) \mathbf{h} \leq \delta_s \\ & && -\delta_s \leq \mathbf{a}^T(\omega_{N_p+2}) \mathbf{h} \leq \delta_s \\ & && \vdots \\ & && -\delta_s \leq \mathbf{a}^T(\omega_{N_p+N_s}) \mathbf{h} \leq \delta_s \end{aligned}$$

co prowadzi do zadania LP

$$\begin{aligned} & \underset{\mathbf{h}, \delta_s}{\text{minimize}} && \delta_s && (29) \\ & \text{subject to} && (1 - \delta_p)\mathbf{1} \leq \mathbf{A}_p \mathbf{h} \leq (1 + \delta_p)\mathbf{1} \\ & && -\delta_s \mathbf{1} \leq \mathbf{A}_s \mathbf{h} \leq \delta_s \mathbf{1} \end{aligned}$$

Można również postawić zadanie znalezienia kompromisu między

dzy  $\delta_p$  i  $\delta_s$  dla różnych wartości parametru  $\mu \in [0, 1]$

$$\begin{aligned} & \underset{\mathbf{h}, \delta_s, \delta_p}{\text{minimize}} && \mu\delta_s + (1 - \mu)\delta_p && (30) \\ & \text{subject to} && (1 - \delta_p)\mathbf{1} \leq \mathbf{A}_p \mathbf{h} \leq (1 + \delta_p)\mathbf{1} \\ & && -\delta_s \mathbf{1} \leq \mathbf{A}_s \mathbf{h} \leq \delta_s \mathbf{1} \end{aligned}$$

**Zadanie 1.** Dla parametrów  $N = 10$  (czyli  $n = 2N + 1 = 21$ ),  $\Omega_p = 0.35\pi$ ,  $\Omega_s = 0.50\pi$ ,  $\delta_p = 0.02$  (czyli  $-33.98$  dB), przy dyskretyzacji częstości  $N_s = N_p = 100$  równoodległych liniowo punktów. Rozwiązać zadanie optymalizacji (29).

**Wskazówka 1** Jeśli zdefiniowaliśmy funkcję określoną dla argumentów skalarnych i chcemy użyć jej dla argumentów macierzowych, w takim sensie, że dla

$$W = \begin{bmatrix} w_{11} & \dots & w_{1n} \\ \vdots & \ddots & \vdots \\ w_{m1} & \dots & w_{mn} \end{bmatrix} \in \mathbb{R}^{m \times n} \quad (31)$$

$$f(W) = \begin{bmatrix} f(w_{11}) & \dots & f(w_{1n}) \\ \vdots & \ddots & \vdots \\ f(w_{m1}) & \dots & f(w_{mn}) \end{bmatrix} \in \mathbb{R}^{m \times n} \quad (32)$$

to można skorzystać z polecenia `arrayfun`.

**Wskazówka 2** Przy tworzeniu macierzy (26) i (27), wygodnie jest skorzystać z faktu, że funkcja `cos` jest określona dla argumentów tablicowych oraz faktu, że dla

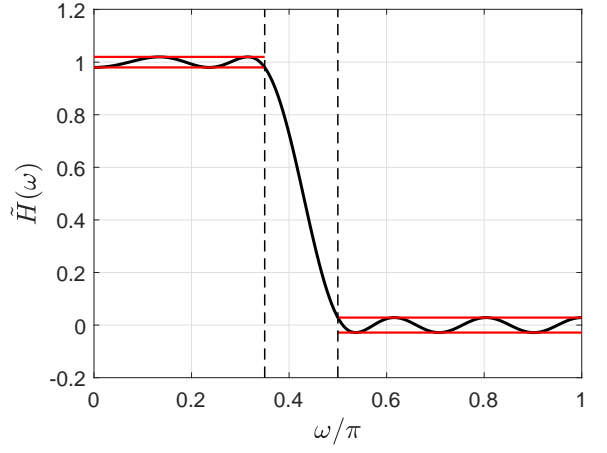
$$w = \begin{bmatrix} w_1 \\ \vdots \\ w_n \end{bmatrix} \in \mathbb{R}^n, \quad v = \begin{bmatrix} v_1 \\ \vdots \\ v_m \end{bmatrix} \in \mathbb{R}^m, \quad (33)$$

mamy

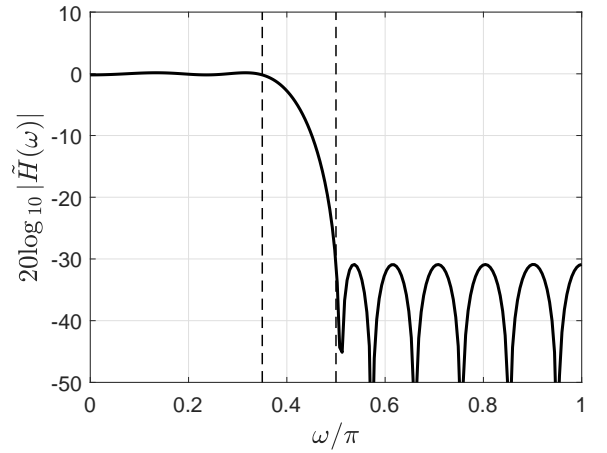
$$\begin{aligned} vw^T &= \begin{bmatrix} v_1 \\ \vdots \\ v_n \end{bmatrix} [w_1 \quad \dots \quad w_n] \\ &= \begin{bmatrix} v_1 w_1 & \dots & v_1 w_n \\ \vdots & \ddots & \vdots \\ v_m w_1 & \dots & v_m w_n \end{bmatrix} \in \mathbb{R}^{m \times n} \end{aligned} \quad (34)$$

**Wskazówka 3** Chcąc utworzyć wektor, którego elementy odpowiadają równoodległym punktom na odcinku prostej, wygodnie jest skorzystać z polecenia `linspace`.

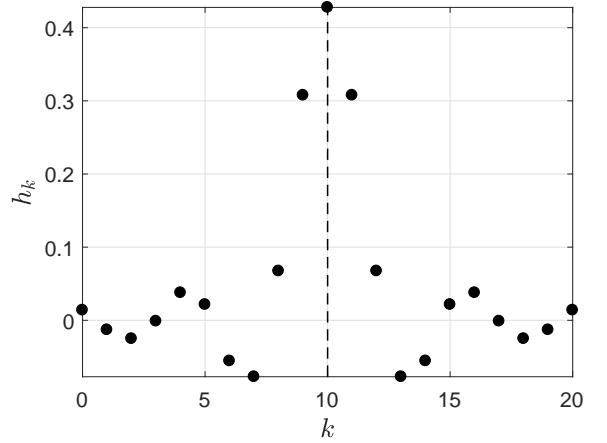
Wyniki: otrzymujemy tłumienie pasma zaporowego  $\delta_s = 0.0285$  (czyli  $-30.90$  dB). Wykres odpowiedzi amplitudowej przedstawia Rys. 2, odpowiadający mu wykres  $20 \log_{10} |H(\omega)|$  przedstawia Rys. 3, wartości pierwszych  $N + 1$  współczynników filtru:  $h_0 = 0.0139$ ,  $h_1 = -0.0130$ ,  $h_2 = -0.0251$ ,  $h_3 = -0.0012$ ,  $h_4 = 0.0377$ ,  $h_5 = 0.0215$ ,  $h_6 = -0.0555$ ,  $h_7 = -0.0771$ ,  $h_8 = 0.0674$ ,  $h_9 = 0.3076$ ,  $h_{10} = 0.4277$ , są to równocześnie kolejne wartości odpowiedzi impulsowej filtru [Rys. 4].



**Rysunek 2:** Wykres odpowiedzi amplitudowej  $H(\omega)$  [danej wzorem (8)] dla filtru z Zadania 1.



**Rysunek 3:** Wykres  $20 \log_{10} |H(\omega)|$  dla filtru z Zadania 1.



**Rysunek 4:** Współczynniki filtru  $\{h_0, \dots, h_{2N+1}\}$  ( $N = 10$ ) z Zadania 1. Pierwsze  $N + 1$  współczynników odpowiada odpowiedzi impulsowej filtru. Współczynniki są symetryczne względem  $h_N$ .

## 1.6 Projektowanie filtru przez dopasowanie do zadanego wzorca

Metoda ta polega na wyznaczeniu współczynników  $h_0, \dots, h_{n-1}$  filtru poprzez dopasowanie jego odpowiedzi amplitudowej do pewnej zadanej przez projektanta referencyjnej odpowiedzi amplitudowej.

### 1.6.1 Podejście LS

Niech  $H_{\text{ref}}(\omega)$  będzie zadaną referencyjną odpowiedzią amplitudową, weźmy pod uwagę dyskretyzację  $\omega_1, \dots, \omega_M$  przedziału częstości  $[0, \pi]$ . Szukamy wektora  $\mathbf{h}$  współczynników w taki sposób, aby zminimalizować

$$\underset{\mathbf{h}}{\text{minimize}} \sum_{i=1}^M (H(\omega_i) - H_{\text{ref}}(\omega_i))^2 \quad (35)$$

Ponieważ  $H(\omega) = \mathbf{a}^T(\omega)\mathbf{h}$ , to (35) jest zadaniem LS (ang. *least squares*, tzn. najmniejszych kwadratów)

$$\underset{\mathbf{h}}{\text{minimize}} \|\mathbf{A}\mathbf{h} - \mathbf{b}\|_2^2 \quad (36)$$

gdzie

$$\mathbf{A} = \begin{bmatrix} \mathbf{a}^T(\omega_1) \\ \vdots \\ \mathbf{a}^T(\omega_M) \end{bmatrix}, \quad \mathbf{b} = \begin{bmatrix} H_{\text{ref}}(\omega_1) \\ \vdots \\ H_{\text{ref}}(\omega_M) \end{bmatrix}. \quad (37)$$

Zadanie (36) jest równoważne zadaniu

$$\underset{\mathbf{h}}{\text{minimize}} \|\mathbf{A}\mathbf{h} - \mathbf{b}\|_2, \quad (38)$$

w obydwu przypadkach mówimy o tzw. zadaniu najmniejszych kwadratów (ang. *least squares*). Rozwiązaniem obydwu tych zadań jest  $\mathbf{h}^* = \mathbf{A}^\dagger \mathbf{b}$ , gdzie  $\dagger$  oznacza (pseudo)inwersję Moore'a-Penrose'a, jeśli macierz  $\mathbf{A}$  ma niezależne liniowo kolumny, co w rozpatrywanym kontekście praktycznie zawsze ma miejsce, to jest to rozwiązanie jedyne.

Można również rozpatrywać modyfikację tego zadania wprowadzając wagi  $q_1, \dots, q_M > 0$  dla poszczególnych częstości

$$\underset{\mathbf{h}}{\text{minimize}} \sum_{i=1}^M q_i^2 (H(\omega_i) - H_{\text{ref}}(\omega_i))^2, \quad (39)$$

duża wartość wagi  $q_i$  oznacza wysoki koszt niedopasowania (ang. *mismatch*) dla częstości  $\omega_i$ . Oznaczając

$$\mathbf{Q} = \text{diag}(q_1, \dots, q_m), \quad (40)$$

można napisać zadanie (39) w postaci

$$\underset{\mathbf{h}}{\text{minimize}} \|\mathbf{Q}(\mathbf{A}\mathbf{h} - \mathbf{b})\|_2^2. \quad (41)$$

czyli

$$\underset{\mathbf{h}}{\text{minimize}} \|\tilde{\mathbf{A}}\mathbf{h} - \tilde{\mathbf{b}}\|_2^2, \quad (42)$$

gdzie

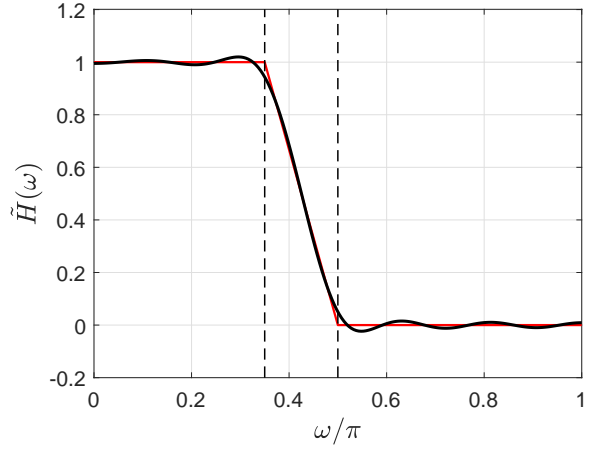
$$\tilde{\mathbf{A}} = \mathbf{Q}\mathbf{A}, \quad \tilde{\mathbf{b}} = \mathbf{Q}\mathbf{b}. \quad (43)$$

**Zadanie 2.** Dla parametrów  $N = 10$  (czyli  $n = 2N + 1 = 21$ ),  $M = 200$  i zadanej odpowiedzi referencyjnej, która jest równa 1 dla częstości mniejszych niż  $\Omega_p = 0.35\pi$  i 0 dla częstości większych niż  $\Omega_s = 0.50\pi$ , a pomiędzy tymi punktami zmienia się liniowo od 1 do 0, zaprojektować (tzn. wyznaczyć współczynniki odpowiedzi impulsowej) filtr rozwiązując zadanie optymalizacji (36). Zauważmy, że charakterystyka referencyjna jest określona następująco.

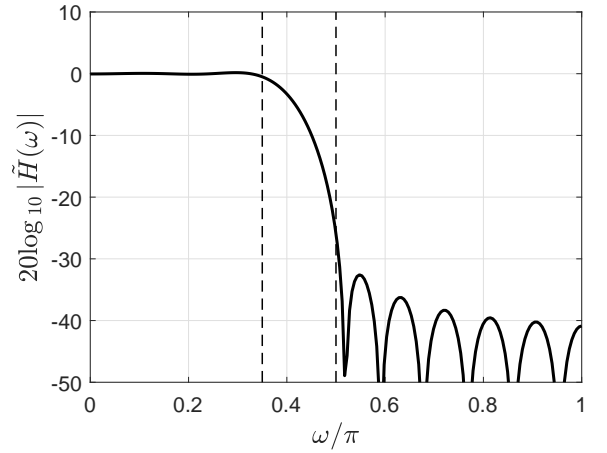
$$H_{\text{ref}}(\omega) = \begin{cases} 1 & \text{dla } \omega \in [0, \Omega_p], \\ \frac{\omega - \Omega_s}{\Omega_p - \Omega_s} - \frac{\Omega_s}{\Omega_p - \Omega_s} & \text{dla } \omega \in [\Omega_p, \Omega_s], \\ 0 & \text{dla } \omega \in [\Omega_s, \pi]. \end{cases} \quad (44)$$

W środowisku Matlab można taką funkcję zdefiniować korzystając z polecenia `piecewise`.

Wyniki: otrzymujemy wykresy przedstawione na Rys. 5 i Rys. 6.



**Rysunek 5:** Wykres odpowiedzi amplitudowej filtra z Zadania 2, otrzymanego przez dopasowanie LS. Czerwoną linią zaznaczono odpowiedź referencyjną  $H_{\text{ref}}(\omega)$ .



**Rysunek 6:** Wykres  $20 \log_{10} |H(\omega)|$  dla filtra z Zadania 2, otrzymanego metodą dopasowania LS.

### 1.6.2 Podejście LP

Podejście LP jest bardzo podobne w swoim sformułowaniu do podejścia LS. Różnica polega na zastąpieniu normy euklidesowej normą  $l_1$ . Niech  $H_{\text{ref}}(\omega)$  będzie zadaną referencyjną odpowiedzią amplitudową, weźmy pod uwagę dyskretyzację  $\omega_1, \dots, \omega_M$  przedziału częstości  $[0, \pi]$ . Szukamy wektora  $\mathbf{h}$  współczynników w taki sposób, aby zminimalizować

$$\underset{\mathbf{h}}{\text{minimize}} \sum_{i=1}^M |H(\omega_i) - H_{\text{ref}}(\omega_i)| \quad (45)$$

Ponieważ  $H(\omega) = \mathbf{a}^T(\omega)\mathbf{h}$ , to (45) jest równoważne zadaniu

$$\underset{\mathbf{h}}{\text{minimize}} \|\mathbf{A}\mathbf{h} - \mathbf{b}\|_1 \quad (46)$$

gdzie  $\mathbf{A}$  i  $\mathbf{b}$  są dane przez (37). Można pokazać, że jest to zadanie LP. Podobnie jak dla podejścia LS Można również rozpatrywać modyfikację tego zadania wprowadzając wagi  $q_1, \dots, q_M > 0$  dla poszczególnych częstości

$$\underset{\mathbf{h}}{\text{minimize}} \sum_{i=1}^M q_i^2 |H(\omega_i) - H_{\text{ref}}(\omega_i)|, \quad (47)$$

duża wartość wagi  $q_i$  oznacza wysoki koszt niedopasowania (ang. *mismatch*) dla częstości  $\omega_i$ . Oznaczając

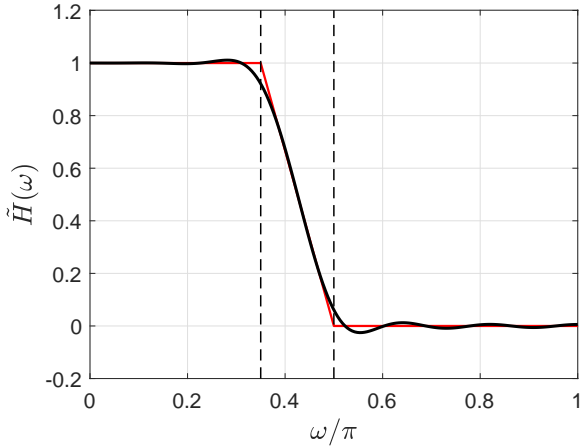
$$\mathbf{Q} = \text{diag}(q_1, \dots, q_m), \quad (48)$$

można napisać zadanie (47) w postaci

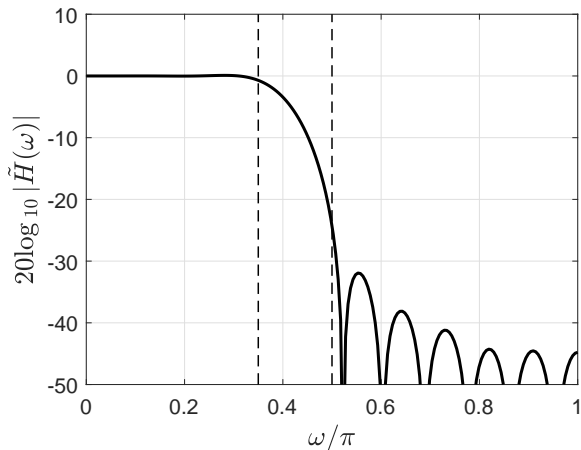
$$\underset{\mathbf{h}}{\text{minimize}} \quad \|\mathbf{Q}(\mathbf{A}\mathbf{h} - \mathbf{b})\|_1. \quad (49)$$

**Zadanie 3.** Dla parametrów  $N = 10$  (czyli  $n = 2N + 1 = 21$ ),  $M = 200$  i zadanej odpowiedzi referencyjnej, która jest równa 1 dla częstości mniejszych niż  $\Omega_p = 0.35\pi$  i 0 dla częstości większych niż  $\Omega_s = 0.50\pi$ , a pomiędzy tymi punktami zmienia się liniowo od 1 do 0, zaprojektować (tzn. wyznaczyć współczynniki odpowiedzi impulsowej) filtr rozwiązując zadanie optymalizacji (46).

Wyniki: otrzymujemy wykresy przedstawione na Rys. 7 i Rys. 8.



**Rysunek 7:** Wykres odpowiedzi amplitudowej filtra z Zadania 3, otrzymanego przez dopasowanie LP. Czerwoną linią zaznaczono odpowiedź referencyjną  $H_{\text{ref}}(\omega)$ .



**Rysunek 8:** Wykres  $20 \log_{10} |H(\omega)|$  dla filtra z Zadania 3, otrzymanego metodą dopasowania LP.

### 1.6.3 Podejście Czebyszewa

Projektowanie tą metodą pozwala zminimalizować największą niezgodność

$$\underset{\mathbf{h}}{\text{minimize}} \quad \max_{i=1, \dots, M} |H(\omega_i) - H_{\text{ref}}(\omega_i)| \quad (50)$$

lub równoważnie

$$\underset{\mathbf{h}}{\text{minimize}} \quad \|(\mathbf{A}\mathbf{h} - \mathbf{b})\|_{\infty}, \quad (51)$$

gdzie  $\mathbf{A}$  i  $\mathbf{b}$  są określone wzorem (37). Zadanie to można sformułować jako zadanie LP

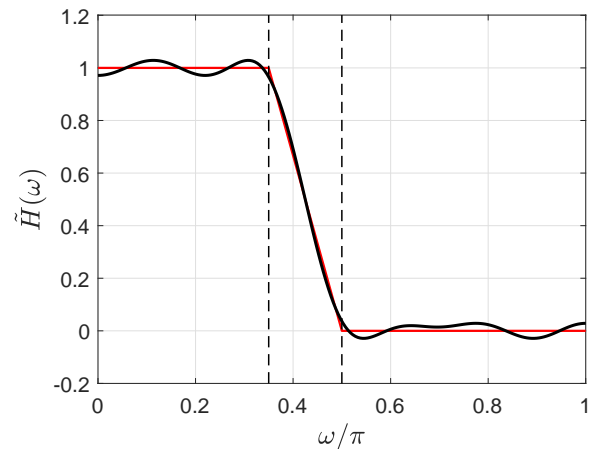
$$\begin{aligned} & \underset{\mathbf{h}, \gamma}{\text{minimize}} \quad \gamma & (52) \\ & \text{subject to} \quad -\gamma \leq w_1 (\mathbf{a}^T(\omega_1)\mathbf{h} - H_{\text{ref}}(\omega_1)) \leq \gamma \\ & \quad \quad \quad -\gamma \leq w_2 (\mathbf{a}^T(\omega_2)\mathbf{h} - H_{\text{ref}}(\omega_2)) \leq \gamma \\ & \quad \quad \quad \vdots \quad \quad \quad \vdots \quad \quad \quad \vdots \quad \quad \quad \vdots \\ & \quad \quad \quad -\gamma \leq w_M (\mathbf{a}^T(\omega_M)\mathbf{h} - H_{\text{ref}}(\omega_M)) \leq \gamma \end{aligned}$$

czyli

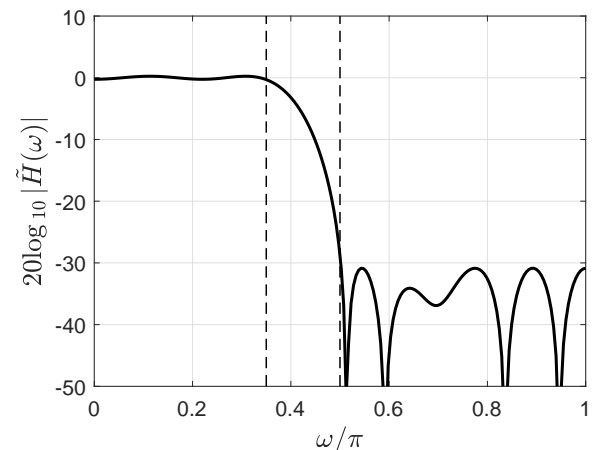
$$\begin{aligned} & \underset{\mathbf{h}, \gamma}{\text{minimize}} \quad \gamma & (53) \\ & \text{subject to} \quad -\gamma \mathbf{1} \leq (\mathbf{A}\mathbf{h} - \mathbf{b}) \leq \gamma \mathbf{1} \end{aligned}$$

gdzie  $\mathbf{A}$  i  $\mathbf{b}$  są określone przez wzorem (37).

**Zadanie 4.** Dla danych liczbowych z Zadania 4 zaprojektować filtr rozwiązując zadanie optymalizacji (53). Wyniki: otrzymujemy wykresy przedstawione na Rys. 9 i Rys. 10. Wartość największej rozbieżności wynosi  $\gamma = 0.0313$  (tzn.  $-30.1$  dB).



**Rysunek 9:** Wykres odpowiedzi amplitudowej filtra FIR otrzymanego metodą Czebyszewa dla filtra z Zadania 4. Czerwoną linią zaznaczono odpowiedź referencyjną  $H_{\text{ref}}(\omega)$ .



**Rysunek 10:** Wykres  $20 \log_{10} |H(\omega)|$  dla filtra z Zadania 4, otrzymanego metodą dopasowania Czebyszewa.

Podejścia LS, LP i Czebyszewa można traktować jako szczególne przypadki bardziej ogólnej metody polegającej na dopasowaniu charakterystyki filtra do zadanego wzorca (charakterystyki referencyjnej) poprzez minimalizację normy wyrażenia  $\mathbf{A}\mathbf{h} - \mathbf{b}$ . Dla podejścia LS jest to norma euklidesowa  $l_2$ , dla podejścia LP jest to norma  $l_1$ , dla podejścia Czebyszewa jest to norma  $l_{\infty}$  (zwana też normą Czebyszewa).

## Literatura

- [1] G.C. Calafiore and L. El Ghaoui. *Optimization Models*. Control systems and optimization series. Cambridge University Press, 2014.
- [2] Richard G Lyons. *Wprowadzenie do cyfrowego przetwarzania sygnałów*. Wydawnictwa Komunikacji i Łączności, Warszawa, 2010.